

1 **ОБОБЩЕННО-ИМИТАЦИОННЫЕ МОДЕЛИ**
2 **СПУТНИКОВЫХ И**
3 **РАДИОРЕЛЕЙНЫХ ЛИНИЙ СВЯЗИ**

4
5 **Тукубаев З.Б.**
6 *(Международный Казахско-Турецкий университет имени*
7 *Ясави, г. Туркестан, Казахстан)*
8 zuhr@pochta.ru, zuhr08@rambler.ru

9
10 **GENERALLY IMITATIONAL MODELS OF SATELLITE**
11 **AND RADIORELAY LINKS.**

12
13 *The algorithm of imitation and graphical representation of signals in*
14 *radiorelay and satellite channels of global networks in general gauss*
15 *model base is developed in this article.*

16 *В статье разработан алгоритм имитационного моделирования и*
17 *анимации фединговых радиоканалов по общей гауссовской модели в*
18 *условиях зависимых ортогональных составляющих поля волны.*

19
20 Ключевые слова: имитационное моделирование, фединговый
21 канал, интерференционные замирания, реальное время, фильтрация
22 процессов, передаточная функция фильтра.

23
24 В настоящее время широко используются в глобальных сетях
25 связи и Интернет спутниковые и радиорелейные линии связи (ЛС)
26 миллиметрового диапазона частот {1.7-46}. В таких ЛС
27 наблюдается ярко выраженная многолучевость распространения
28 радиоволн. Такое же явление можно наблюдать в ЛС
29 тропосферного и ионосферного распространения радиоволны ДКМ
30 (декаметрового), УКВ (ультракоротковолнового) диапазонов
31 частот.

32 Эти диапазоны частот также широко используются в
33 глобальных сетях передачи данных. Частные случаи многолучевой
34 модели распространения радиоволн встречаются в ЛС между
35 космическими или летательными аппаратами любых диапазонов
36 частот, в радиорелейных ЛС, в ЛС между морскими судами, в ЛС



1 дальней связи с летательными аппаратами и в спутниковых ЛС
2 метрового и дециметрового диапазонов (при отражении радиоволн
3 от земной поверхности).

4 Существующие обобщенные модели распространения
5 радиоволн Кловского Д.Д. [2.20-21] и Камнева Е.Ф. и др.[3.13-17]
6 охватывают, практически, все частные модели и имеют очень
7 важное значение при автоматизации исследовании и
8 проектировании современных систем передачи данных по радио и
9 спутниковым каналам.

10 В аналитической форме эти модели не удобны для
11 исследования и разработки систем, а использование их в реальном
12 времени для управления не возможно.

13 Разработка обобщенно-имитационных моделей (ОИМ) на
14 базе вышеотмеченных моделей расширяет их возможности и делает
15 пригодным для использования в реальном времени.

16 Четырехпараметрическая модель Кловского представляется в
17 форме:

$$18 W(\nu) = \frac{\nu}{\sigma_x \sigma_y} \cdot e^{-\frac{m_y^2 + \nu^2}{2\sigma_y^2} - \frac{m_x^2}{2\sigma_x^2}} \cdot \sum_{k=0}^{\infty} \frac{H_{2K}(\alpha)}{(2K)!! 2^K} \cdot \left(\frac{\sigma_y}{m_y} \right)^K \cdot \left(\frac{1}{\sigma_x^2} - \frac{1}{\sigma_y^2} \right) \cdot I_K \left(\frac{im_y}{\sigma_y^2} \right),$$

19 где: H_{2K} - полином Эрмита K - степени; I_K - функция
20 Бесселя K -го порядка;

21 В модели Кловского рассматриваются случаи
22 стохастического поля с независимыми ортогональными
23 компонентами; в практических случаях это достигается
24 применением фазовращателей. ОИМ для такого случая
25 разработаны в работах [4,5,6]. В некоторых случаях не удается
26 получить независимость ортогональных составляющих. Такие
27 случаи, когда ортогональные составляющие коррелированы
28 коррелированы рассмотрены в обобщенной модели Камнева Е.Ф.
29 др. [3], которая представляется в форме:

$$30 W(X, Y) = \frac{1}{2\pi\sigma_x\sigma_y\sqrt{1-\rho_{xy}^2}} \exp \left\{ -\frac{1}{2(1-\rho_{xy}^2)} \left[\frac{(X-m_x)^2}{\sigma_x^2} + \frac{(Y-m_y)^2}{\sigma_y^2} - \frac{2\rho_{xy}(X-m_x)(Y-m_y)}{\sigma_x\sigma_y} \right] \right\}.$$

31 Последняя модель охватывает 12 частных моделей
32 полностью; а остальные 4 частные модели при $\alpha=0$ практически



1 нецелесообразны, где: $a = E_o / \sqrt{\sigma_x \sigma_y}$, $E = \sqrt{m_x^2 + m_y^2}$.

2 Несмотря на большую содержательность и адекватность
3 последняя модель в такой форме использовать нецелесообразно; а
4 в реальном времени использовать не возможно. Для такой модели в
5 настоящей работе разработан ОИМ для наиболее общего случая -
6 комплексного стохастического поля с коррелированными
7 ортогональными составляющими.

8 Ортогональные составляющие этих ОИМ имитируются
9 моделированием простого марковского процесса по алгоритмам
10 A1,A2:

$$y[n] = \sigma_y \sqrt{1 - \rho_y^2} N_y(0,1) + \rho_y y[n-1]$$

11 (A1,A2)

$$x[n] = \sigma_x \sqrt{1 - \rho_x^2} N_x(0,1) + \rho_x x[n-1].$$

12 В алгоритме модели Камнева корреляция
13 ортогональных составляющих поля волны достигается корреляцией
14 нормальных псевдослучайных чисел $N_x(0,1), N_y(0,1)$ с
15 параметрами $m = 0, \sigma_0 = 1$.

16 Медленные интерференционные замирания имитируются
17 логарифмически нормальным процессом (ЛНП), процессами
18 Винера 1 и 2-степеней и нестационарными процессами со
19 стационарными приращениями (НПСП). При этом, ЛНП
20 моделируется фильтрацией процессов A1,A2 через фильтр с
21 экспоненциальной передаточной функцией по алгоритму [4,5]:
22 $L_x[n] = e^{x[n]}, L_y = e^{y[n]}$.

23 Моделирование марковского
24 процесса производится по алгоритму Б1:



$$x[n] = a_0 N[n] + a_1 N[n-1] - b_1 x[n-1] - b_2 x[n-2]$$

1 (Б1) $b_1 = -2\rho \cos \gamma_0; b_2 = \rho^2;$

$$\begin{cases} A_0 = (1 - \rho^2) \rho \cos \gamma_0; \\ \vartheta_0 = \frac{1 + \rho^2}{2\rho \cos \gamma_0}; \vartheta_{1,2} = \vartheta_0 \pm \sqrt{\vartheta_0^2 - 1}; a_0 = -\sqrt{A_0 \vartheta_{1,2}}; a_1 = \sqrt{\frac{A_0}{\vartheta_{1,2}}}; \end{cases}$$

2 где $N[n], N[n-1]$ - нормальные псеводослучайные числа с
3 параметрами $m = 0, \sigma_0 = 1$.

4 Алгоритм моделирования винеровского процесса 1- степени
5 имеет вид В1:

6 (B1) $x[n] = x[n-1] + \sqrt{N_0 \Delta t} \times N[n],$

7 где N_0 -параметр распределения.

8 Винеровский процес второй степени моделируется по
9 алгоритму В2 [4,5]:

10 (B2) $x[n] = a_0 N[n] + a_1 N[n-1] - 2x[n-1] - x[n-2],$

11 Параметры a_0, a_1 -определяются по формулам:

$$12 a_0 = \frac{\sqrt{2 - \sqrt{3}}}{\sqrt{6}}; a_1 = \frac{1}{\sqrt{6}} \times \frac{1}{\sqrt{2 - \sqrt{3}}}.$$

13 Алгоритм имитации нестационарного процесса со
14 стационарными первыми приращениями имеет вид С1:

15 (C1) $x[n] = a_0 N[n] + a_1 N[n-1] - (1 + \rho)x[n-1],$

16 где параметры a_0, a_1 - определяются по формулам:



$$a_0 = \frac{a\sigma^2\rho}{a_1}; a_1 = \sqrt{c\sigma^2 \frac{1-\rho^2 + a(1+\rho^2) - \sqrt{[1-\rho^2 + a(1+\rho^2)]^2 - 4a^2\rho^2}}{2}};$$

$$c = \frac{2}{\varpi^2} (ch\varpi - 1), a = \frac{sh\varpi - \varpi}{ch\varpi - 1}$$

Дискретные значения релеевского случайного сигнала определяются по алгоритму Д1: ,

$$(D1) \quad z[n] = \sigma_0 \sqrt{x^2[n] + y^2[n]},$$

где $x[n], y[n]$ - дискретные значения нормальных процессов.

Алгоритм моделирования сосредоточенных помех (помех посторонних радиостанции) имеет аналогичную форму, что и алгоритм моделирования релеевских процессов, но с другими значениями параметров.

Ниже приведены графики реализации различных моделей сигналов на рисунках 1 и 2.

Программы и результаты имитационного моделирования могут быть использованы как отдельные модули в АСНИ и САПР систем передачи данных по фединговым каналам. Их можно использовать в учебных процессах в вузах соответствующих специальностей.

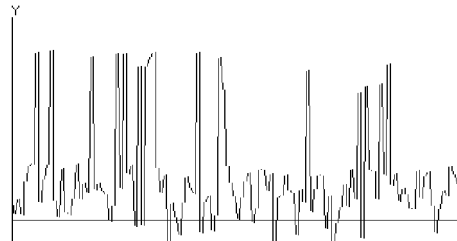


$Z =$
 $r_0 =$ [0 <= r_0 <= 1]
 $sig =$ 1
 $dx =$
 $dy =$
 $du =$

ПРОСМОТР

ОЧИСТКА

ВЫХОД



- Простой марковский процесс
- марковский процесс 2-пор.
- 1-порядка процесс Винера
- 2-порядка процесс Винера
- Лог.нормальный процесс
- Нестационарный процесс
- Релеевский процесс
- Сосредоточ. радиопомехи

1

2 Рис. 1. График уровня сигнала - сосредоточенной помехи.

3

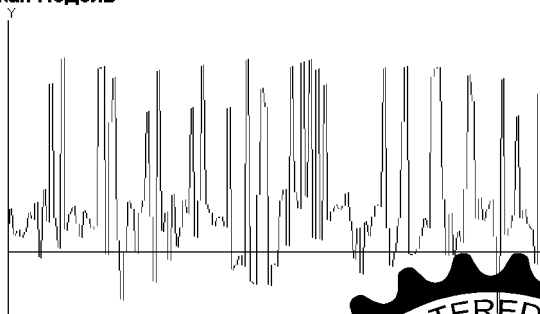
Общая гауссовская модель

$r_0 =$
 $gxu =$
 $mx =$
 $my =$
 $gx =$
 $gy =$

ПРОСМОТР

ОЧИСТКА

ВЫХОД



4

5 Рис. 2. График уровня четырехпараметрического сигнала.



Л и т е р а т у р а

- ЧЕРЕНКОВА Е.Л., ЧЕРНЫШЕВ О.В. *Распространение радиоволн.* – М.: Радио и связь, 1984 г., - 272 с.
 - КЛОВСКИЙ Д.Д. *Передача дискретных сообщений по радиоканалам.* – М.: Радио и связь, 1982 г.- 303 с.
 - КАМНЕВ Е.Ф. *Методы обработки сигналов при наличии помех в линиях связи.* – М.: Радио и связь, 1985 г. – 223с.
 - ТУКУБАЕВ З.Б. *Результаты моделирования разнесенного приема сигналов в условиях общей гауссовской модели замираний.* НТС “Техника средств связи”, сер. Техника проводной связи, вып.7, -М.: изд.”ЭКОС”,1989 г.
 - ТУКУБАЕВ З.Б. *Моделирование разнесенного приема сигналов и вопросы прогнозирования в условиях общей гауссовской модели замираний.* НТС “Техника средств связи”, сер. Системы связи, вып.6, -М.: изд. “ЭКОС”,1990 г.
 - ТУКУБАЕВ З.Б. *Программа имитационного моделирования и анимации общего гауссовского процесса.* Труды Международной научной конференции: “Роль и значение телекоммуникации и информационных технологий в современном обществе”, Ташкент, 2005 г.

